

# ЭЛЕКТРОТЕРМОКОНВЕКЦИЯ В ПЕРЕМЕННОМ ЭЛЕКТРИЧЕСКОМ ПОЛЕ ПРИ УМЕРЕННОЙ АВТОНОМНОЙ ИНЖЕКЦИИ ЗАРЯДА В ЖИДКИЙ ДИЭЛЕКТРИК

*O. O. Некрасов<sup>\*</sup>, Б. Л. Смородин<sup>\*\*</sup>*

*Пермский государственный национальный исследовательский университет  
614068, Пермь, Россия*

Поступила в редакцию 20 октября 2024 г.,  
после переработки 20 октября 2024 г.  
Принята к публикации 8 ноября 2024 г.

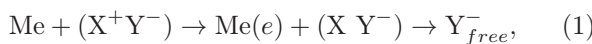
Проанализированы электротермоконвективные течения вязкой несжимаемой диэлектрической жидкости, помещенной в модулированное электрическое поле плоского конденсатора. Жидкость нагревается со стороны верхнего электрода (катода), с которого происходит умеренная инжекция отрицательного заряда. На плоскости амплитуда модуляции — обратная частота построена карта режимов поведения жидкости. Продемонстрирована возможность подавления электротермоконвекции в модулированном поле. Обнаружены различные типы отклика на переменное внешнее воздействие — модулированные бегущие и стоячие волны. Получены характеристики модулированных волн.

**DOI:** 10.31857/S0044451025020142

## 1. ВВЕДЕНИЕ

Текущие диэлектрические и слабопроводящие среды — жидкости и жидкие кристаллы — представляют значительный интерес для изучения не только благодаря большому разнообразию возникающих нелинейных течений и структур [1,2], но и с практической точки зрения: для контроля интенсивности массо- и теплопереноса, интенсивности проходящего через среду света, а также распределения заряда в среде [3–5].

Одним из способов механизмов генерации свободных зарядов в жидкости является инжекция [3,5,6]: вследствие окислительно-восстановительных реакций вблизи границы жидкость–электрод генерируются заряды, совпадающие по знаку с соответствующим электродом. В данной статье изучается случай униполярной инжекции отрицательного заряда. Находящаяся у катода нейтральная примесь захватывает электрон, становясь отрицательным ионом [7]:



где Me — металл катода, отдающий ионной паре  $(\text{X}^+ \text{Y}^-)$  электрон  $e$ , а  $\text{Y}_{free}^-$  — отрицательно заряженный инжектируемый ион.

Возникающие под действием разности потенциалов  $V_0$  на обкладках конденсатора силы Кулона отталкивают отрицательные заряды от катода в зазор толщиной  $d$  между электродами, заполненный диэлектриком. При определенных условиях в результате неустойчивости генерируется электроконвективный массоперенос.

Величину инжекции характеризует безразмерный параметр  $C = q_0 d^2 / V_0 \varepsilon_0 \varepsilon$  ( $q_0$  — плотность заряда, инжектируемого в жидкость с катода  $\varepsilon_0$  — электрическая постоянная,  $\varepsilon$  — диэлектрическая проницаемость среды), который представляет собой отношение инжектируемого заряда на единицу площади  $q_0 d$  к поверхностному заряду, который мог бы присутствовать на электродах из-за приложенного внешнего поля  $V_0 \varepsilon_0 \varepsilon / d$  [8].

Возникновение электроконвекции и надкритические течения в изотермическом случае подробно изучены [8,9]. Показано, что жидкость может находиться либо в состоянии ионной проводимости (отсутствия движения сплошной среды), либо в режиме электроконвективного течения. При этом переход между этими состояниями при измене-

\* E-mail: dakeln2@gmail.com

\*\* E-mail: bsmorodin@yandex.ru

нии управляющего параметра (электрического числа Рэлея) происходит гистерезисным образом.

В неизотермической жидкости, находящейся в поле силы тяжести, за счет конкуренции сил Кулона и плавучести возможны усиление [10, 11] или ослабление [12] теплопотока, а также хаотические движения при нагреве сбоку [13].

Если жидкость нагревается сверху, появляется возможность генерации колебательных режимов течения в виде нелинейных волн [7, 14, 15]. При этом анализ электроконвективных течений проведен для случая постоянного поля в безындукционном приближении: полагается, что электрическое поле внутри конденсатора не зависит от распределения инжектированного заряда. Показано, что на пороге устойчивости в результате прямой бифуркации Хопфа могут возникнуть волновые течения в форме стоячей или бегущей волны. В натурных экспериментах волновые течения наблюдаются в том числе в замкнутых кольцевых каналах, например, при изучении конвекции бинарных смесей [16].

В работах [17, 18] проведен учет влияния конвективного перераспределения инжектированных зарядов на эволюцию электроконвективных режимов при слабой инжекции заряда ( $C = 0.224$ ) в постоянном и переменном внешних электрических полях. Подробно изучены смешанный режим конвекции — длительный переходный процесс между бегущей и стоячей волнами, а также модулированные бегущие волны.

В данной работе проанализировано поведение термоэлектроконвективных структур в переменном электрическом поле в случае умеренной инжекции заряда ( $C = 1.0$ ). В отличие от случая слабой [17, 18] инжекции обнаружена возможность подавления электротермоконвекции в модулированном поле, а также стабилизация режима стоячих волн.

## 2. ПОСТАНОВКА ЗАДАЧИ

Рассматривается плоский горизонтальный конденсатор толщиной  $d$ , заполненный слабот проводящей вязкой несжимаемой жидкостью. Потенциал анода  $\Phi(d) = V_0$ , потенциал катода в общем случае меняется гармоническим образом  $\Phi(0) = \alpha V_0 \sin(2\pi ft)$  с амплитудой  $\alpha V_0$  и частотой  $f$  ( $\alpha < 1$ ). Конденсатор с жидкостью находится также в поле силы тяжести  $\mathbf{g}$  и нагревается сверху,  $\Theta$  — разность температур на обкладках конденсатора. Кроме того, на верхнем электроде (катоде) происходит автономная инжекция зарядов. Напра-

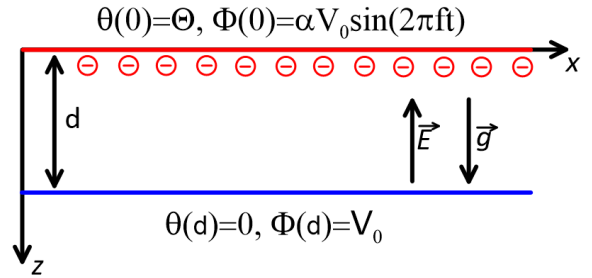


Рис. 1. Система координат, геометрия и граничные условия задачи о горизонтальном слое жидкости

вим ось  $x$  декартовой системы координат вдоль обкладок конденсатора, ось  $z$  — вниз, вдоль ускорения свободного падения.

Задача рассматривается в электрогидродинамическом приближении, в котором магнитные эффекты пренебрежимо малы по сравнению с электрическими [4]. Жидкость обладает следующими характеристиками: динамической вязкостью  $\eta$ , диэлектрической проницаемостью  $\epsilon$  и плотностью при средней температуре  $\rho_0$ , температуропроводностью  $\chi$ , коэффициентом теплового расширения  $\beta$  (предполагается линейная зависимость плотности от температуры:  $\rho = \rho_0(1 - \beta\theta)$ ) и подвижностью зарядов  $K$ . Диэлектрическая проницаемость жидкости  $\epsilon$  и коэффициент подвижности ионов  $K$  не зависят от температуры и электрического поля.

Система дифференциальных уравнений, описывающих электротермоконвекцию, содержит уравнение неразрывности, уравнение Навье – Стокса, записанное в приближении Буссинеска, уравнение теплопроводности [19], а также закон сохранения заряда и уравнение Пуассона [8, 20]:

$$\begin{aligned} \operatorname{div} \mathbf{v} &= 0, \\ \frac{\partial \mathbf{v}}{\partial t} + (\mathbf{v} \cdot \nabla) \mathbf{v} &= \\ &= -\frac{1}{\rho_0} \nabla p + \eta \Delta \mathbf{v} - g \beta \theta \mathbf{e} - q \nabla \Phi, \\ \frac{\partial \theta}{\partial t} + (\mathbf{v} \cdot \nabla) \theta &= \chi \Delta \theta, \\ \frac{\partial q}{\partial t} + (\mathbf{v} \cdot \nabla) q &= K(q^2 - \nabla \Phi \cdot \nabla q), \\ \Delta \Phi &= -\frac{q}{\epsilon_0 \epsilon}, \end{aligned} \quad (2)$$

где  $\mathbf{v}$ ,  $p$  и  $\theta$  — поля скорости, давления и температуры соответственно,  $q$  — объемная плотность заряда,  $\mathbf{e}$  — единичный вектор, сонаправленный с осью  $z$ .

Используем в качестве масштабов следующие характеристики: длины [ $x$ ] =  $d$ , времени [ $t$ ] =  $\rho_0 d^2 / \eta$ ,

скорости  $[v] = \eta/\rho_0 d$ , давления  $[p] = \eta^2/\rho_0 d^2$ , разности потенциалов  $[\Phi] = V_0$ , плотности зарядов  $[q] = \varepsilon_0 \varepsilon V_0/d^2$ , температуры  $[\theta] = \Theta$ .

Тогда система (2) в безразмерном виде запишется следующим образом:

$$\begin{aligned} \operatorname{div} \mathbf{v} &= 0, \\ \frac{\partial \mathbf{v}}{\partial t} + (\mathbf{v} \cdot \nabla) \mathbf{v} &= \\ &= -\nabla p + \Delta \mathbf{v} - \frac{\text{Ra}}{\text{Pr}} \theta \mathbf{e} - \frac{T^2}{M^2} q \nabla \Phi, \\ \frac{\partial \theta}{\partial t} + (\mathbf{v} \cdot \nabla) \theta &= \frac{1}{\text{Pr}} \Delta \theta, \\ \frac{\partial q}{\partial t} + (\mathbf{v} \cdot \nabla) q &= \frac{T}{M^2} (q^2 - \nabla \Phi \cdot \nabla q), \\ \Delta \Phi &= -q. \end{aligned} \quad (3)$$

Границные условия на обкладках конденсатора соответствуют идеально электро- и теплопроводным пластинам, на которых жидкость не проскальзывает, а с катода инжектируется заряд:

$$\begin{aligned} \text{при } z = 0 : \mathbf{v} &= 0, \theta = 1, \\ \Phi &= \alpha \sin 2\pi\nu t, q = -C, \\ \text{при } z = 1 : \mathbf{v} &= 0, \theta = 0, \Phi = 1. \end{aligned} \quad (4)$$

В системе уравнений (3) и граничных условий (4) присутствуют безразмерные параметры  $\text{Ra} = g\rho_0\beta\Theta d^3/\eta\chi$  — число Рэлея,  $\text{Pr} = \eta/\rho_0\chi$  — число Прандтля,  $T = \varepsilon_0\varepsilon V_0/\eta K$  — безразмерный электрический параметр, пропорциональный среднему напряжению на обкладках конденсатора, параметры  $M = \sqrt{\varepsilon_0\varepsilon/K^2\rho_0}$  и  $C$ , характеризующие подвижность инжектируемых ионов и интенсивность инжекции, а также  $\alpha$  и  $\nu = f\rho_0d^2/\eta$  — безразмерные амплитуда и частота гармонической модуляции потенциала на верхней обкладке.

Электроконвекция в неоднородно нагретой слабопроводящей жидкости возникает и поддерживается благодаря силе плавучести, возникающей в поле тяжести, и силе Кулона, действующей на инжектированные заряды.

Рассмотрим двумерные течения,  $\mathbf{v} = (v_x, 0, v_z)$ . Для решения нелинейной системы (3) с граничными условиями (4) использовался двухполевой метод. Для его реализации необходимо перейти от полей скорости  $\mathbf{v}$  и давления  $p$  к скалярным функциям тока  $\psi$  и вихрю скорости  $\varphi$ , задаваемых согласно следующим соотношениям:

$$v_x = -\frac{\partial \psi}{\partial z}, \quad v_z = \frac{\partial \psi}{\partial x}, \quad \varphi = (\operatorname{rot} \mathbf{v})_y, \quad (5)$$

можно заметить, что  $\varphi = -\Delta\psi$ .

В переменных  $\psi$ ,  $\varphi$ ,  $\theta$ ,  $q$  и  $\Phi$  система уравнений (3) выглядит следующим образом:

$$\begin{aligned} \frac{\partial \varphi}{\partial t} - \frac{\partial \varphi}{\partial x} \frac{\partial \psi}{\partial z} + \frac{\partial \varphi}{\partial z} \frac{\partial \psi}{\partial x} &= \\ = \Delta \varphi + \frac{T^2}{M^2} \left( \frac{\partial \Phi}{\partial z} \frac{\partial q}{\partial x} - \frac{\partial \Phi}{\partial x} \frac{\partial q}{\partial z} \right) + \frac{\text{Ra}}{\text{Pr}} \frac{\partial \theta}{\partial x}, \\ \frac{\partial \theta}{\partial t} - \frac{\partial \theta}{\partial x} \frac{\partial \psi}{\partial z} + \frac{\partial \theta}{\partial z} \frac{\partial \psi}{\partial x} &= \frac{1}{\text{Pr}} \Delta \theta, \\ \frac{\partial q}{\partial t} - \frac{\partial q}{\partial x} \frac{\partial \psi}{\partial z} + \frac{\partial q}{\partial z} \frac{\partial \psi}{\partial x} &= \frac{T}{M^2} (q^2 - \nabla \Phi \cdot \nabla q), \\ \Delta \psi &= -\varphi, \\ \Delta \Phi &= -q, \end{aligned} \quad (6)$$

с граничными условиями

$$\begin{aligned} \text{при } z = 0 : \psi &= 0, \frac{\partial \psi}{\partial z} = 0, \theta = 1, \\ \Phi &= \alpha \sin 2\pi\nu t, q = -C, \\ \text{при } z = 1 : \psi &= 0, \frac{\partial \psi}{\partial z} = 0, \theta = 0, \Phi = 1. \end{aligned} \quad (7)$$

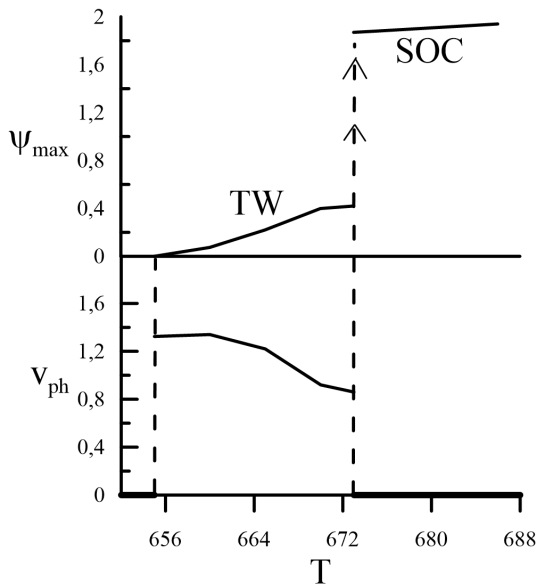
В горизонтальном направлении используются периодические условия

$$F(x + L, z, t) = F(x, z, t), \quad (8)$$

где  $F$  — любая из функций системы (6),  $L = 2\pi/k$  — период конвективной структуры, соответствующий критическим возмущениям  $k$  на пороге возникновения электротермоконвекции.

Для анализа нелинейных течений в данной статье использован набор параметров, соответствующих слабопроводящим жидкостям:  $\text{Pr} = 10$ , [7, 21],  $M = 14.14$  [7, 8, 10],  $C = 1$  (умеренная инжекция), и нагрев сверху (число Рэлея  $\text{Ra} = 2500$ ). При этом критическое волновое число  $k = 4.33$  [17], и, следовательно, размер структуры  $L = 1.44$ . В численном моделировании использована сетка  $31 \times 21$  узлов (шаг  $\Delta x = \Delta z = 0.05$ ), что достаточно для задачи о термоэлектроконвекции (подробное рассмотрение влияния густоты сетки на характеристики электроконвекции проведено в работе [18]).

Для нахождения полей температуры и плотности заряда использовались явные схемы с разностями против потока первого порядка точности. Для решения уравнения эволюции функции вихря скорости при помощи центрально-разностной схемы второго порядка точности необходимо удовлетворение критерию устойчивости, связанному с локальным значением чисел Рейнольдса в каждом из узлов сетки. Для этого использовалось переключение между



**Рис. 2.** Бифуркационная диаграмма режимов движения жидкости и зависимости максимального значения функции тока и фазовой скорости бегущей волны от управляемого параметра  $T$

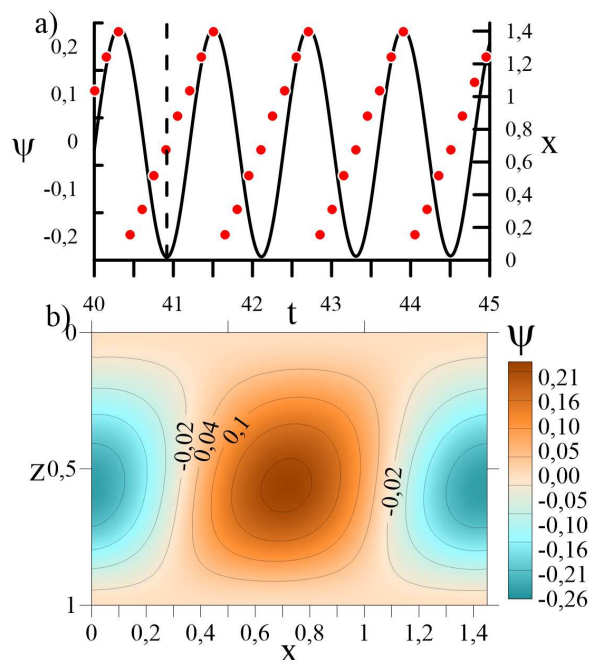
двумя разными явными численными схемами, удовлетворяющими условию устойчивости для разных чисел Рейнольдса [22].

Уравнения Пуассона для вихря скорости  $\varphi$  и заряда  $q$  решались при помощи метода последовательной верхней релаксации [23]. Значение вихря скорости на горизонтальных границах вычислялось в соответствии с условием Тома.

Для анализа полученных результатов в процессе численного моделирования устанавливались зависимости максимального значения функции тока  $\psi_{max}$  в расчетной ячейке и его координат  $x_{max}$  и  $z_{max}$  от времени, зависимость от времени значения функции тока  $\psi_{loc}$  в фиксированном узле  $x = 1/2$  и  $z = 1/2$ , а также распределения функции тока, температуры и заряда внутри ячейки.

### 3. ПОСТОЯННОЕ ПОЛЕ

В постоянном поле ( $\alpha = 0$ ) для рассматриваемого в данной статье набора параметров и значении электрического числа Рэлея  $T = 655$  механическое равновесие жидкости становится неустойчивым относительно колебательных возмущений, и в результате прямой бифуркации возникает электроконвекция в форме бегущих волн (traveling wave, TW), рис. 2, 3.



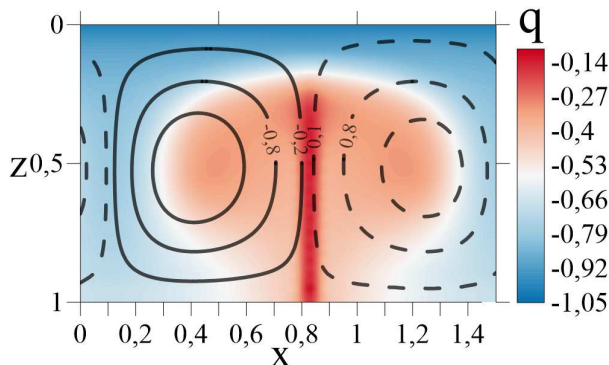
**Рис. 3.** Режим бегущих волн TW при  $T = 665$ . *a* — Зависимости от времени значения функции тока в фиксированной точке (сплошная линия, левая ось) и горизонтальной координаты максимума функции тока (красные точки, правая ось). *b* — Распределение функции тока в ячейке в момент времени, соответствующий вертикальному разрезу на рис. 3 *a*

Структура течения в данном режиме представляет собой два противоположно врачающихся конвективных вала (рис. 3 *b*), которые движутся как целое вдоль горизонтального направления с постоянной (фазовой) скоростью

$$v_{ph} = \frac{dx_{max}}{dt} = 1.22$$

(рис. 3 *a*, красные точки), интенсивность конвекции в валах остается постоянной.

Как видно на рис. 2, при увеличении управляемого параметра интенсивность конвекции в режиме бегущих волн возрастает, а фазовая скорость, наоборот, падает. Это продолжается вплоть до критического значения  $T = 673$ , при котором система скачкообразно переходит к режиму стационарной конвекции (stationary overturning convection, SOC). Этот режим обладает конвективной структурой, состоящей из двух неподвижных валов, зеркально-симметричных относительно вертикальной плоскости, проходящей по линии максимальной (минимальной) вертикальной скорости жидкости (рис. 4). Интенсивность движения жидкости в этом режиме в несколько раз превышает интенсивность режима



**Рис. 4.** Распределение в ячейке плотности заряда  $q$  с изолиниями функции тока в режиме стационарной электроконвекции SOC,  $T = 675$

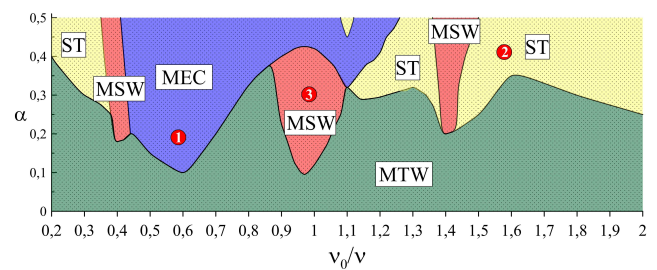
стоячих волн. Несмотря на отличия бифуркационной диаграммы решений в умеренном режиме инжекции ( $C = 1$ , рис. 2) от случая слабой инжекции ( $C = 0.224$  [18]), переход к высокоинтенсивному режиму конвекции наблюдается и в обоих случаях.

#### 4. ПЕРЕМЕННОЕ ПОЛЕ

Рассмотрим теперь гармоническую модуляцию потенциала на верхней обкладке конденсатора (катоде). В качестве основного состояния, на которое накладывается модуляция поля, берется бегущая волна, наблюдаемая при значении  $T = 665$  (рис. 3). При данном значении управляющего параметра фазовая скорость горизонтального движения бегущей волны составляет  $v_{ph} = 1.22$ , что соответствует собственной частоте колебаний полей системы в фиксированной точке,  $\nu_0 = 0.848$ .

В зависимости от величины амплитуды модуляции  $\alpha$ , а также от соотношения собственной частоты  $\nu_0$  системы и частоты модуляции внешнего поля  $\nu$  можно получить различные типы отклика. Карта режимов течения жидкости на плоскости амплитуда модуляции потенциала на катоде — отношение собственной частоты системы к частоте модуляции представлена на рис. 5.

Для широкого набора частот ( $\nu_0/\nu \in [0.2; 2]$ ) при небольших амплитудах модуляции поля ( $\alpha < 0.1$ , не более 10% от разности потенциалов на границах) в системе реализуется режим модулированных бегущих волн (modulated traveling wave, MTW). Распределения функции тока, температуры и заряда в режимах модулированных бегущих волн и бегущих волн качественно похожи. Но в режиме MTW интенсивность конвекции и горизонтальная скорость



**Рис. 5.** Карта режимов течения жидкости на плоскости  $\alpha - \nu_0/\nu$  (амплитуда модуляции потенциала на катоде  $\alpha$  — отношение собственной частоты системы к частоте модуляции  $\nu_0/\nu$ ) при  $T = 665$  и  $C = 1$ . Зеленые области — модулированные бегущие волны (MTW), желтые — механическое равновесие (ST), красные — модулированные стоячие волны (MSW), синие — модулированная электроконвекция (MEC)

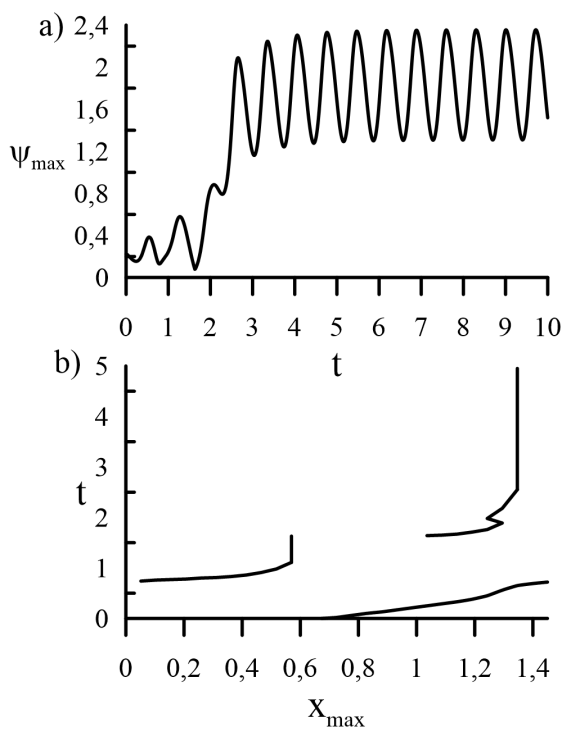
конвективных валов, вообще говоря, модулируются с частотой внешнего воздействия. В общем случае отношение частот  $\nu_0/\nu$  не является рациональным числом, что соответствует квазипериодическим колебаниям функции тока, температуры и заряда в локальной точке конвективной ячейки.

Как видно из карты режимов (рис. 5), для всех рассматриваемых частот модуляции, начиная с некоторой амплитуды  $\alpha = \alpha_*(\omega)$ , режим модулированных бегущих волн становится неустойчивым и система переходит к другому типу движения. При этом зависимость  $\alpha = \alpha_*(\omega)$  является сложной и имеет вид параметрических «языков». Можно заметить, что минимальные критические амплитуды разрушения режима MTW приблизительно соответствуют соотношениям частот  $\nu_0/\nu \sim 1/2, 1, 3/2$ , что отвечает резонансным частотам, получаемым из теории параметрического резонанса [24].

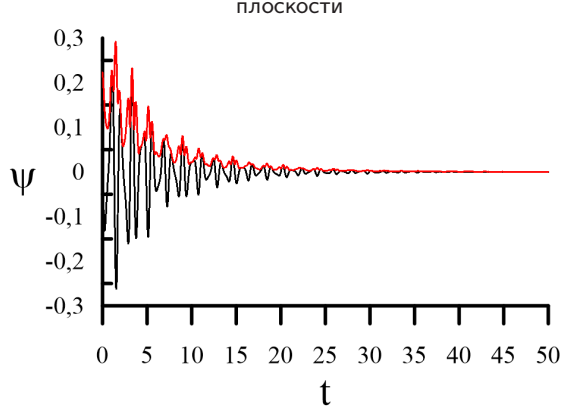
Рассмотрим поведение течений, возникающих в результате потери устойчивости модулированной бегущей волны.

В интервале частот  $\nu_0/\nu \in [0.45; 1.3]$  большие амплитуды модуляции потенциала на катоде приводят к возникновению режима модулированной электроконвекции (modulated electroconvection, MEC), рис. 6.

На первом этапе перехода к режиму MEC амплитуда колебательного течения увеличивается (рис. 6 a;  $0 < t < 3$ ). Скорость горизонтального движения структур падает — волна быстро останавливается. Это отражается в поведении координаты максимума функции тока в ячейке на характеристической плоскости (рис. 6 b):  $x_{max} = \text{const}$  уже при  $t > 2.5$ . Далее среднее значение максимальной

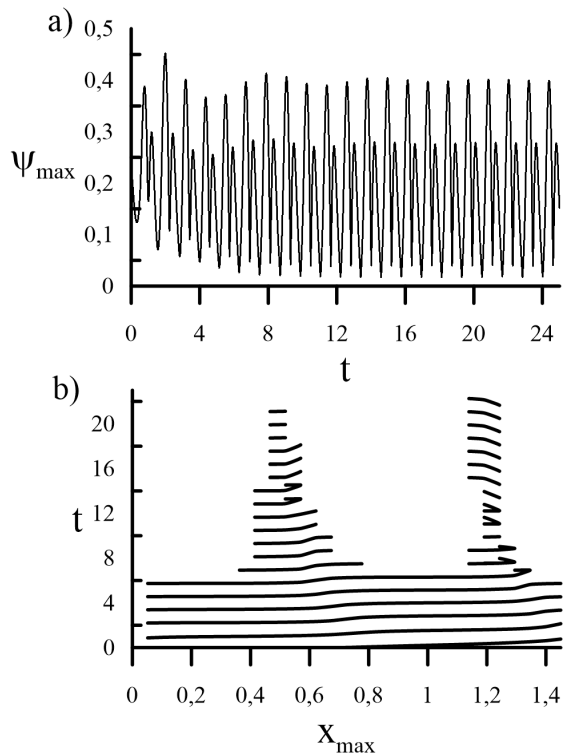


**Рис. 6.** Переход к режиму модулированной электроконвекции МЕС от режима модулированных бегущих волн МТВ при параметрах  $T = 665$ ,  $\alpha = 0.2$ ,  $\nu_0/\nu = 0.6$  (точка 1 на рис. 5). *a* — Зависимость максимального значения функции тока в ячейке от времени, *b* — поведение координаты максимума функции тока в ячейке на характеристической плоскости

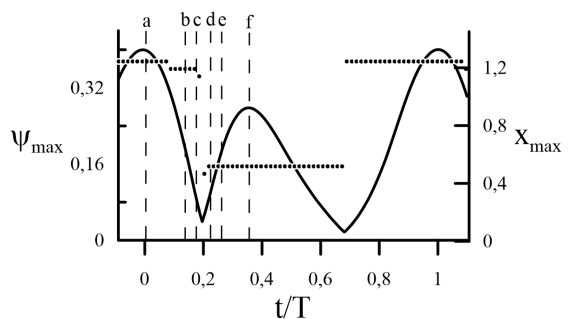


**Рис. 7.** Зависимости от времени максимального значения функции тока (красная кривая) и функции тока в фиксированной точке проходящего посередине горизонтального разреза ячейки (черная кривая) для набора параметров  $T = 665$ ,  $\alpha = 0.4$ ,  $\nu_0/\nu = 1.6$  (точка 2 на рис. 5), затухание конвективного движения

функции тока возрастает до нового значения. Зеркально-симметричная форма конвективных валов восстанавливается. В режиме модулированной электроконвекции (рис. 6 *a*;  $t > 5$ ) амплитуда течения модулирована с частотой модуляции поля



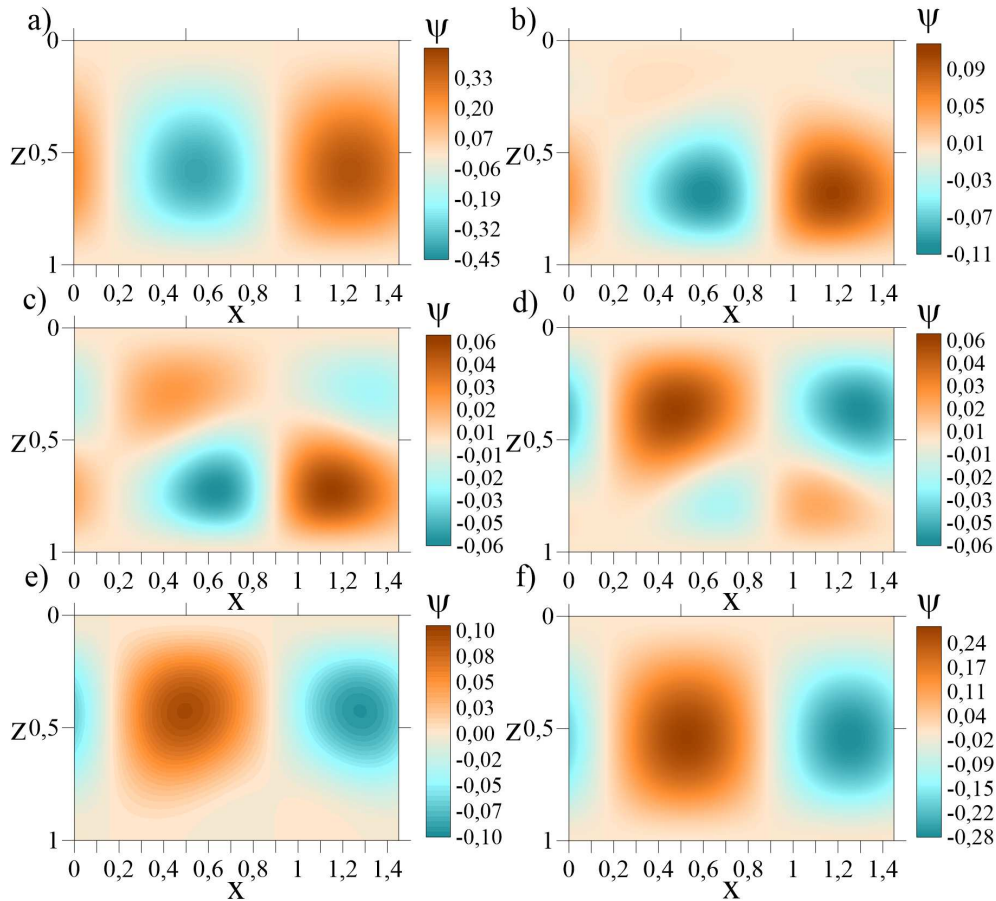
**Рис. 8.** Переход к режиму стоячих волн SW от режима бегущих волн TW при параметрах  $T = 665$ ,  $\alpha = 0.3$ ,  $\nu_0/\nu = 1$  (точка 3 рис. 5): *a* — зависимость максимального значения функции тока в ячейке от времени, *b* — поведение горизонтальной координаты максимума функции тока в ячейке на характеристической плоскости



**Рис. 9.** Зависимость от отношения времени к периоду колебаний максимального значения функции тока (сплошная линия, левая ось) и горизонтальной координаты максимума функции тока в ячейке (точки, правая ось) в режиме стоячих волн при значениях параметров  $T = 665$ ,  $\alpha = 0.3$ ,  $\nu_0/\nu = 1$  (точка 3 на рис. 5)

$\nu$ , а средняя интенсивность электроконвекции в несколько раз больше, чем в режиме модулированных бегущих волн.

Для соотношения частот, лежащего вне диапазона  $\nu_0/\nu \in [0.45; 1.3]$ , большие амплитуды модуля-



**Рис. 10.** Распределения функции тока в ячейке при значениях параметров  $C = 1$ ,  $T = 665$ ,  $\alpha = 0.3$ ,  $\nu_0/\nu = 1$ , распределения соответствуют моментам времени *a–f* на рис. 9 (точка 3 на рис. 5)

ции приводят к подавлению конвективного движения жидкости (рис. 5, области ST). Пример перехода от бегущей волны в состояние механического равновесия представлен на рис. 7.

Кроме того, для определенного набора частот воздействия  $\nu_0/\nu \in [1.1; 1.3]$  последовательное увеличение амплитуды модуляции потенциала сначала приводит к подавлению модулированных бегущих волн, а затем к переходу к высокоинтенсивной модулированной электроконвекции (рис. 5).

Помимо сценариев эволюции течения в переменном поле, рассмотренных выше, существует еще один, представляющий особый интерес (красные области на рис. 5). Вблизи соотношений частот  $\nu_0/\nu = 1/2, 1, 3/2$  имеются области параметрического воздействия, в которых возможен режим модулированных стоячих волн MSW (рис. 8).

В данных областях изменения амплитуды и частоты внешнего поля сквозное движение конвективной структуры вдоль горизонтального направления

отсутствует, а ее колебания имеют свойства стоячей волны. Направление вращения электроконвективных валов периодически меняется, а следовательно, координаты центров валов меняют свое положение в ячейке, сдвигаясь на половину пространственного периода ячейки по законам

$$\begin{aligned} T_1 &< T/2, \quad T = 1/\nu : \\ x_{max}(t + T_1) &= x_{max}(t) + L/2, \\ x_{min}(t + T_1) &= x_{min}(t) - L/2, \\ x_{max}(t + T) &= x_{max}(t + T_1) - L/2, \\ x_{min}(t + T) &= x_{min}(t + T_1) + L/2. \end{aligned} \quad (9)$$

При этом интенсивность течения периодически близка к нулю (рис. 8 *a*). Как можно заметить по эволюции положения максимума функции тока на характеристической плоскости, смена направления вращения валов сопровождается их небольшим движением вблизи положения равновесия (рис. 8 *b*).

Рассмотрим более подробно один период колебаний системы в данном режиме (рис. 9).

Колебания функции тока ангармоничны во времени. На одном периоде колебаний имеются два разных максимума функции тока ( $\psi_{max1} = 0.4$ ,  $\psi_{max2} = 0.28$ , разница 30%) и два разных минимума. Наибольшей интенсивности конвекции соответствует положение закрученного по часовой стрелке конвективного вала в правой части ячейки (момент времени  $a$  на рис. 9 и соответствующее поле функции тока на рис. 10), второму максимуму — расположение вала в левой части ячейки (момент времени  $f$  на рис. 9 и соответствующее поле функции тока на рис. 10). Структура течения в этих двух случаях отличается направлением вращения валов: вращение вала по (против) часовой стрелке сменяется вращением в противоположном направлении.

Вместе с тем, перестройка течения, связанная с изменением направления вращения конвективных валов вблизи минимума функции тока происходит при заметной «деформации» валов (появление второй пространственной гармоники). В моменты времени  $b-e$  на рис. 9 в ячейке присутствуют одновременно четыре вала (двухэтажная структура по вертикали на рис. 10). Первая часть цикла модулированной стоячей волны  $T_1$  занимает примерно 38% от периода колебаний, а завершающая — 62%.

## 5. ЗАКЛЮЧЕНИЕ

Изучена эволюция течения в горизонтальном конденсаторе, заполненном диэлектрической жидкостью, при наличии умеренной автономной униполярной инжекции с катода и при нагреве сверху. Определены пороговые значения электрического числа Рэлея, отвечающие возникновению электроконвективного движения из состояния механического равновесия и дальнейшему переходу к высокоинтенсивному режиму колебаний.

Изучено влияние переменного поля на режим модулированных бегущих волн. Построена карта режимов на плоскости отношение собственной частоты колебаний к частоте модуляции — амплитуда модуляции. Обнаружены различные устойчивые колебательные течения, представляющие собой отклик на внешнее переменное воздействие: модулированные бегущие волны, модулированные стоячие волны и режим модулированной электроконвекции. Показано, что модуляция потенциала может приводить к подавлению электроконвекции.

**Финансирование.** Работа выполнена при поддержке Российского научного фонда (грант № 23-21-00344, <https://rscf.ru/project/23-21-00344/>).

## ЛИТЕРАТУРА

- Г. А. Остроумов, *Взаимодействие электрических и гидродинамических полей*, Наука, Москва (1979).
- M. C. Cross and P. C. Hohenberg, Rev. Mod. Phys. **65**, 851 (1993).
- Ю. К. Стишков, А. А. Остапенко, *Электродинамические течения в жидкостях диэлектриках*, Издво Ленинград. ун-та, Ленинград (1989).
- М. К. Болога, Ф. П. Гросу, И. А. Кожухарь, *Электроконвекция и теплообмен*, Штиинца, Кишинев (1977).
- А. И. Жакин, УФН **185**, 495 (2012).
- F. Pontiga and A. Castellanos, Phys. Fluids **6**, 1684 (1994).
- А. Н. Мордивнов, Б. Л. Смородин, ЖЭТФ **141**, 997 (2012).
- J. C. Lacroix, P. Atten, and E. J. Hopfinger, J. Fluid Mech. **69**, 539 (1975).
- А. Н. Верещага, Е. Л. Тарунин, в сб. *Численное и экспериментальное моделирование гидродинамических явлений в невесомости*, Свердловск: УрО АН СССР, (1988), стр. 92.
- Ph. Traore, A. T. Perez, D. Koulova et al., Fluid Mech. **658**, 279 (2010).
- J. Wu and P. Traoré, Numer. Heat Transfer, Part A **68**, 471 (2015).
- T. F. Li, K. Luo, and H. L. Yi, Phys. Fluids **31**, 064106 (2019).
- J. Selvakumar, J. Wu, J. Huang et al., Int. J. Heat and Fluid Flow **89**, 108787 (2021).
- В. А. Ильин, В. Н. Александрова, ЖЭТФ **157**, 349 (2020).
- Б. Л. Смородин, ЖЭТФ **161**, 137 (2022).
- B. L. Smorodin and I. N. Cherepanov, Eur. Phys. J. E **37**, 118 (2014).